

Preparation and Antibacterial Activity of Modified Palygorskite with Quaternary Phosphonium Cations

Guang-jian Dai, Xiang Cai, Xue-mei Li, Shao-zao Tan

Department of Chemistry, Jinan University, Guangzhou, China

Email: shaozao@tom.com

Abstract: Modified palygorskite (DTP-PA) were prepared by introducing different content of quaternary phosphonium cation of Dodecyl triphenyl phosphonium bromide (DTP) into sodium palygorskite (Na-PA) through ion-exchange method, and the structure and performance were characterized. The results of TGA show that the onset temperatures of the decomposition for DTP in the DTP-PA are all higher than 220°C, indicating preferable thermal stability. The SEM images show that Na-PA displays a lath-like or fibrous structure, DTP-PA is irregular shape, and the specific surface area of the DTP-PA decreased. The antibacterial activity of the DTP-PA increases with the increase of the content of DTP. DTP-PA-5 containing 18.8 % of DTP shows good antibacterial activity with the Minimal Inhibitory Concentrations (MIC) against *E. coli* and *S. aureus* of 600 mg·L⁻¹ and 100 mg·L⁻¹, respectively. DTP-PAs display excellent long-acting antibacterial activity.

Keywords: quaternary phosphonium cation; palygorskite; modification; long-acting antibacterial.

季鏽陽離子改性凹凸棒石的制备及抗菌活性*

代光劍，蔡祥，李雪梅，譚紹早

暨南大学化学系，广州，中国，510632

Email: shaozao@tom.com

摘要：采用离子交换法将不同量的十二烷基三苯基溴化鏽（DTP）负载到钠化凹凸棒石（Na-PA）上，得到季鏽陽離子改性凹凸棒石（DTP-PA），并对其结构和性能进行了表征。热重分析（TGA）结果表明DTP-PA中DTP的热分解起始温度都大于220℃，具有较好的热稳定性。扫描电镜显示Na-PA为棒状结构，负载DTP的DTP-PA显示不规则形态，比表面积减小。随着DTP-PA中DTP含量的增加，其zeta电位增加、抗菌活性逐渐增强。DTP含量为18.8 wt%的DTP-PA-5对*E.coli*和*S.aureus*的最低抑菌浓度分别为600 mg·L⁻¹和100 mg·L⁻¹，显示出良好的抗菌活性。

关键词：季鏽陽離子；凹凸棒石；改性；长效抗菌

1 引言

载银无机抗菌剂具有广谱、长效、耐热、安全等优点，是目前首选抗菌剂^[1-2]。但由于它存在成本高、易变色、防霉效果差等缺点，研究者一直在寻找其替代品。其中，经有机阳离子抗菌剂改性的硅酸盐类抗菌材料已

成为当前研究热点^[3-4]。

凹凸棒石（Palygorskite，简写为PA），理想结构式为 $(Mg, Al)_5Si_8O_{20}(OH)_2(H_2O)_4 \cdot 4H_2O$ ，在矿物学分类上隶属于硅酸盐类，层状硅酸盐亚类，凹凸棒土-海泡石族，凹凸棒土海泡石亚族粘土矿物。由于成本低，比表面积大（可高达约120-180 m²/g）^[5]，被广泛用于去除水中有害物质的吸附剂^[6-8]。

季鏽鹽是新一代高效、广谱、低毒有机阳离子杀菌剂，具有泡沫低和pH值适用范围宽等特点^[9]，缺点是不耐热，直接使用易造成环境污染。如利用凹凸棒石比表

* 基金项目：国家自然科学基金项目(20676049, 20871058, 20971028); 省部产学研合作专项资金(2007B090400105, 2008A010500005); 暨南大学科研培育与创新基金; 暨南大学本科生科技创新工程项目(cx10075, cx10076)。

面积大，吸附能力强的特点，将季𬭸盐负载在凹凸棒石中，有望制备出不污染环境、抗菌性能优良、热稳定性好的新型抗菌剂。在此，作者通过离子交换法将季𬭸阳离子负载在凹凸棒石上，使季𬭸阳离子稳定存在于凹凸棒石内，从而提高季𬭸阳离子的热稳定性，减少季𬭸阳离子对环境的污染，成为一种环保、长效的抗菌材料添加剂。

2 实验

2.1 原料

凹凸棒石，河北省灵寿县矿产品加工厂，优级，按文献^[10]的方法进行钠化处理得到Na-PA，并测得Na-PA的离子交换容量(CEC)为0.86 mmol/g；十二烷基三苯基溴化𬭸(Dodecyl triphenyl phosphonium bromide，简写为DTP)，氯特化工(上海)有限公司；水解酪蛋白胨肉汤(MH)和营养琼脂培养基由广东环凯微生物有限公司提供；革兰氏阴性菌大肠杆菌*E. coli*(ATCC25922)和革兰氏阳性菌金黄色葡萄球菌*S. aureus*(ATCC6538)由广东省微生物所提供；其它药品均为化学纯。

2.2 方法

2.2.1 制备

将Na-PA配制成5 wt%的悬浮液，于60 °C下搅拌1 h，然后加入0.25, 0.50, 0.75, 1.00和1.25 CEC当量(Na-PA)的DTP，并用NaOH溶液调节pH至7，于60 °C下继续搅拌6 h后离心，所得沉淀用50 wt%乙醇水溶液(60 °C)洗涤至无Br⁻(用0.1 mol/L AgNO₃溶液检验)；将所得产物65 °C真空干燥48 h后研磨，过300目筛，即得DTP改性PA(简写为DTP-PA)。为方便描述，样品记为DTP-PA-1, DTP-PA-2, DTP-PA-3, DTP-PA-4和DTP-PA-5。

2.2.2 表征

使用美国TA公司的SDT-Q600型热重分析仪进行热重测试，升温速率10 °C/min，在N₂气氛中进行；使用荷兰Philips的TECNALI-10型扫描电镜对样品形貌进行分析，加速电压为100 kV；使用美国麦克仪器公司全自动比表面积和孔隙度分析仪mMK-TriStar 3000测定样品比表面积。

2.2.3 最低抑菌浓度(MIC)的测定

称取一定量的DTP-PA抗菌粉末，用MH肉汤培养液分散，然后用MH肉汤培养液稀释到不同浓度，分

别加入到含有一定菌量(革兰氏阴性菌大肠杆菌*E. coli*和革兰氏阳性菌金黄色葡萄球菌*S. aureus*)的MH培养液中，使最终菌液的浓度约为10⁶ colony forming units (cfu)/mL，37 °C振荡培养24 h后，观察结果。以不加细菌的试管作为对照管，无菌生长的实验管液体透明，以不长菌管的抗菌剂计量为最小抑菌浓度(Minimal Inhibitory Concentration, MIC)。

3 结果和讨论

3.1 热重分析

图1为Na-PA和DTP-PAs的TGA图。可以看出，Na-PA和DTP-PAs在40-200 °C左右范围内的质量损失，是脱去吸附水和层间水所产生的。对比Na-PA的TG曲线，在DTP-PAs的TG曲线中新出现的在200-500 °C左右范围内的质量损失是由有机相烧失所产生的^[11]。根据TGA计算DTP-PAs中DTP的含量及起始分解温度如表1所示，随着反应物DTP用量的增加，DTP-PAs中DTP的含量也逐渐增大，其增速则逐渐变慢，并逐渐达到饱和吸附浓度。另外，DTP-PAs中DTP的起始分解温度则随着DTP含量的增大逐渐减小，但都在220 °C以上，表现出良好的热稳定性。

3.2 TEM

扫描电镜显示Na-PA(图2a)为棒状结构。负载DTP的DTP-PA-5(图2b)显示不规则形态。从其比表面积来看(表1所示)，负载DTP的DTP-PAs比表面积逐渐减少，这可能是由于DTP的负载使得DTP-PAs之间的排斥力减小，从而使其团聚变为不规则形态，比表面积减小。

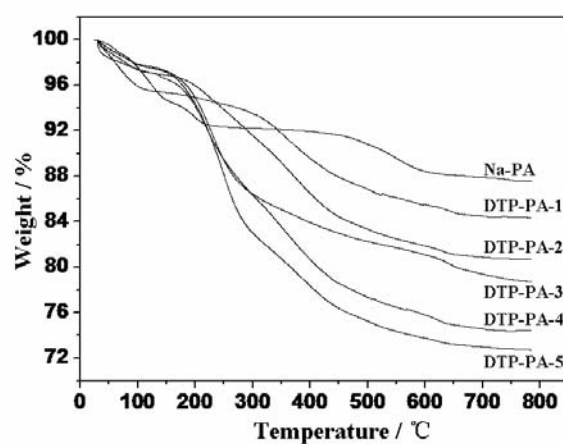


Figure 1. TGA curves of Na-PA and DTP-PAs

图 1. Na-PA 和 DTP-PAs 的 TGA 图

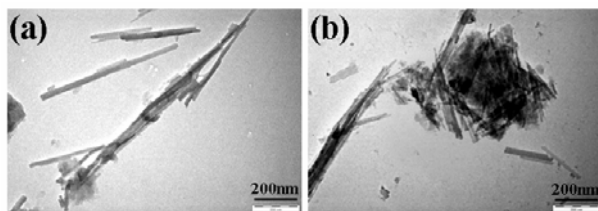


Figure 2. SEM images of Na-PA (a) and DTP-PA-5 (b)

图 2. Na-PA (a) 和 DTP-PA-5 (b) 的 TEM 照片

3.3 抗菌活性

从表 1 可以看出, Na-PA 对 *E.coli* 和 *S.aureus* 的 MIC 均大于 $10000 \text{ mg}\cdot\text{L}^{-1}$, 没有抗菌活性。而 DTP-PAs 对 *E.coli* 和 *S.aureus* 都有抗菌活性, 并且随着 DTP-PAs 中 DTP 含量的增加, 其 MIC 逐渐减少, 抗菌活性逐渐增强。当 DTP-PAs 中 DTP 的含量达到 18.8 wt% 时, 其对 *E.coli* 的最低抑菌浓度为 $600 \text{ mg}\cdot\text{L}^{-1}$, 对 *S.aureus* 的最低抑菌浓度则降到为 $100 \text{ mg}\cdot\text{L}^{-1}$, 表现出良好的抗菌活性。

从表 1 还可以看出, DTP-PAs 对 *S.aureus* 的抗菌效果比对 *E.coli* 的好。这是因为 *E.coli* 是革兰氏阴性菌, 而 *S.aureus* 是革兰氏阳性菌, 从细胞壁结构来看, 革兰氏阳性菌具有比革兰氏阴性菌厚得多的肽聚糖细胞壁, 但其结构粗糙, 很难阻止小分子扩散, 而革兰氏阴性菌比革兰氏阳性菌的细胞壁更复杂, 且有一层筛子状荚膜, 抗菌活性物质很难越过荚膜^[12]。

4 结论

(1) DTP-PAs 中 DTP 的热分解起始温度都大于 220°C , 具有良好的热稳定性; Na-PA 为棒状结构, 负载 DTP 的 DTP-PAs 显示不规则形态, 比表面积减小。

(2) 随着 DTP-PAs 中 DTP 含量的增加, 抗菌活性逐渐增强, 含 DTP 量为 18.8 wt% 的 DTP-PA-5 对 *E.coli* 和 *S.aureus* 的最低抑菌浓度分别为 $600 \text{ mg}\cdot\text{L}^{-1}$ 和 $100 \text{ mg}\cdot\text{L}^{-1}$, 显示出良好的抗菌活性。

Table 1. The structure and property parameters for Na-PA and DTP-PAs
表 1. Na-PA 和 DTP-PAs 的结构和性能参数

Samples	Contents of D/wt%	Onset decomposition temperatures of D-V/°C	Specific surface areas (m^2/g)	MIC/ $\text{mg}\cdot\text{L}^{-1}$	
				<i>E. coli</i>	<i>S. aureus</i>
Na-PA	—	—	94.8	>10000	>10000
DTP-PA-1	8.1	274.8	78.1	2500	1500
DTP-PA-2	11.9	249.3	59.1	1800	700
DTP-PA-3	13.1	231.7	44.3	1200	450
DTP-PA-4	16.9	224.4	38.7	800	150
DTP-PA-5	18.8	221.6	34.9	600	100

References (参考文献)

- [1] ShangLin Gao, Edith Mäder, Rosemarie Plonka. Nanocomposite coatings for healing surface defects of glass fibers and improving interfacial adhesion[J]. *Composites Science and Technology*, 2008, 68(14): 2892-2901.
- [2] Burgentzlé D, Duchet J, Gérard J F, et al. Solvent-based nanocomposite coatings: I. Dispersion of organophilic montmorillonite in organic solvents[J]. *Journal of Colloid and Interface Science*, 2004, 278(1): 26-39.
- [3] Marks J G, Fowler J F, Sherertz E F, et al. Prevention of poison ivy and poison oak allergic contact dermatitis by quaternium-18 bentonite[J]. *Journal of the American Academy of Dermatology*, 1995, 33(2 Pt 1): 212-216.
- [4] Manef Chtourou, Mohamed Hédi Frika, Mahmoud Trabelsi. Modified smectitic Tunisian clays used in the formulation of high performance lubricating greases[J]. *Applied Clay Science*, 2006, 32(3/4): 210-216.
- [5] Alvarez A, 1984. Sepiolite: properties and uses. In: Singer A, Galan E. (Eds.), *Palygorskite-Sepiolite: Occurrences, Genesis and Uses*. Elsevier, Amsterdam, pp. 253 - 287.
- [6] Lei Z Q, Wen S X.. Synthesis and decoloration capacity of well-defined and PMMA-grafted palygorskite nanocomposites[J]. *European Polymer Journal*, 2008, 44(8): 2845 - 2849.
- [7] Fan Q H, Shao D D, Hu J, et al. Comparison of Ni^{2+} sorption to bare and ACT-graft attapulgites:Effect of PH,temperature and foreign ions[J]. *Surface Science*, 2008, 602(3): 778 - 785.
- [8] Ailian Xue, Shouyong Zhou, Yijiang Zhao, et al. Adsorption of reactive dyes from aqueous solution by silylated palygorskite[J]. *Applied Clay Science*, 2010, 48(4): 638-640.
- [9] Lucilene Betega de Paiva, Ana Rita Morales, Francisco R. Valenzuela Díaz. Organoclays: Properties, preparation and applications[J]. *Applied Clay Science*, 2008, 42(1-2): 8-24.
- [10] Xu J, Li R K Y, Xu Y, et al. Preparation of poly(propylene carbonate)/organovo-ermiculite nanocomposites via direct melt intercalation[J]. *European Polymer Journal*, 2005, 41(4):881- 888.
- [11] Shaozao Tan, Wenshi Ma, Yingliang Liu. Preparation and Antibacterial Property of Modified Montmorillonite as Novel Composite Antibacterial Agent[J]. *Journal of South China University of Technology*, 2006, 34(8): 94-99.
- [12] 谭绍早, 马文石, 刘应亮. 新型改性蒙脱土复合抗菌剂的制备及抗菌性能[J]. 华南理工大学学报, 2006, 34(8): 94-99.
- [12] Yoon K Y, Byeon J H, Park C W, Hwang J. Antimicrobial effect of silver particles on bacterial contamination of activated carbon fibers[J]. *Environmental Science & Technology*, 2008, 42(4): 1251-1255.